

1.5.1.5 Feynman-Regeln

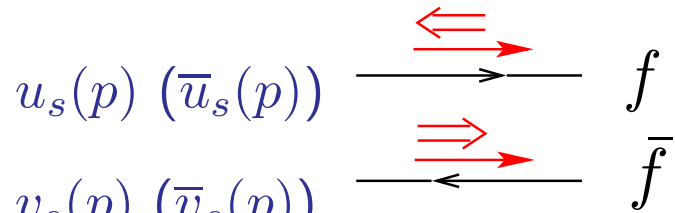
Regeln zur Berechnung der Streumatrixelemente \mathcal{M} in der Störungstheorie, die sich durch die sog. **Feynman-Diagramme** veranschaulichen lassen.

Faktoren im Streumatrixelement \mathcal{M} für beliebige Streuprozesse bzw. Teilchenzerfälle: mit Integration über die 4-Impulse der virtuellen Teilchen ($p^2 \neq m^2$) im Zwischenzustand:

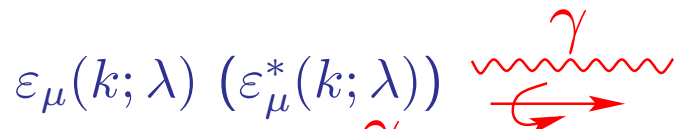


QED:

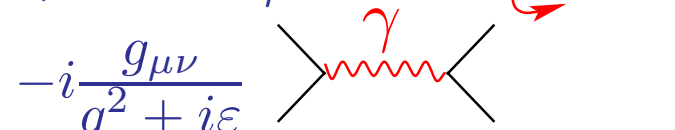
Ein- (auslaufendes) Fermion:



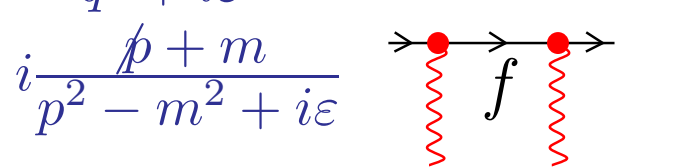
Ein- (auslaufendes) Anti-Fermion:



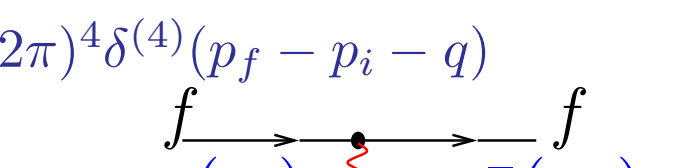
Ein- (auslaufendes) reelles Photon:



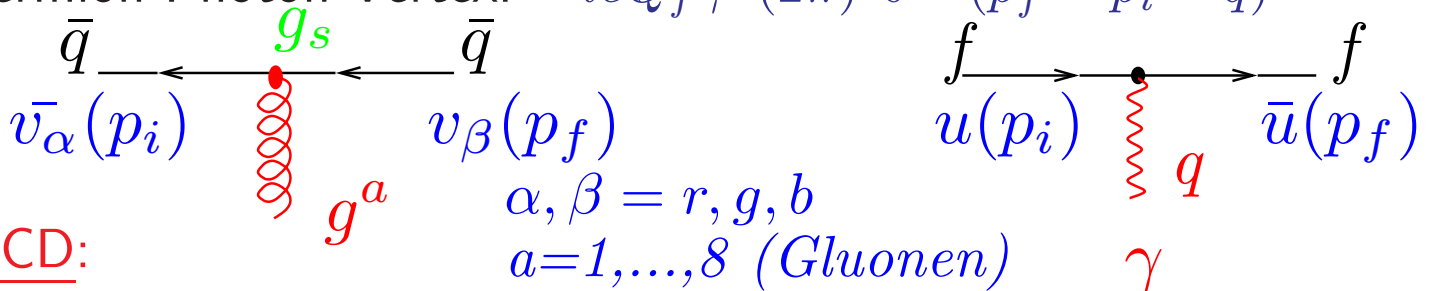
Virtuelles (intermediäres) Photon:



Virtuelles Fermion (Propagator):



Fermion-Photon-Vertex: $-ieQ_f \gamma^\mu (2\pi)^4 \delta^{(4)}(p_f - p_i - q)$

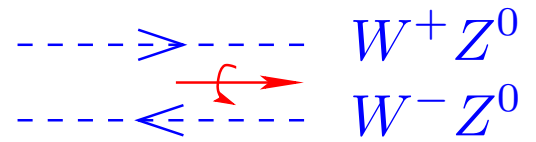


QCD:

Quark-Gluon-Vertex: $-i \frac{g_s}{2} \lambda_{\alpha\beta}^a \gamma^\mu (2\pi)^4 \delta^{(4)}(p_f - p_i - q)$

→ t

Elektroschwache Wechselwirkung:

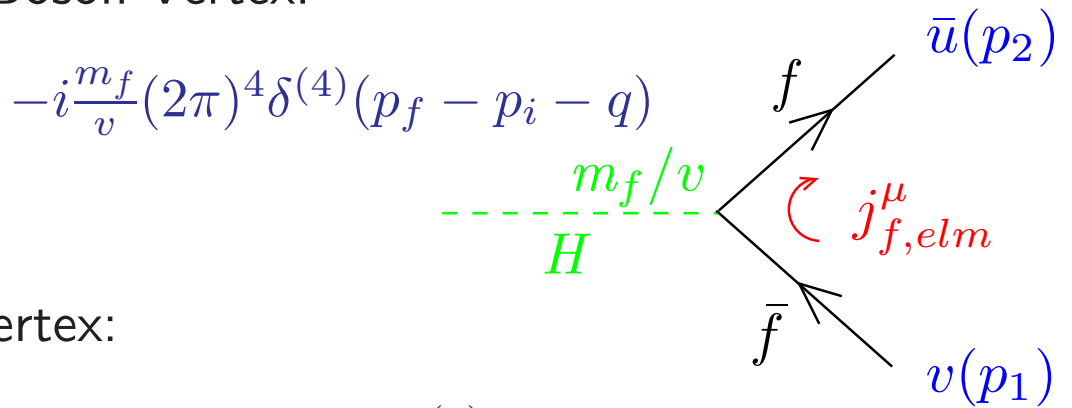


Ein- (auslaufendes) Z^0 -, W^\pm -Boson: $\varepsilon_\mu(k; \lambda)$ ($\varepsilon_\mu^*(k; \lambda)$)

Virtuelles Z^0 -, W^\pm -Boson: $\langle \begin{array}{c} W^\pm \\ \hline Z^0 \end{array} \rangle \quad -i \frac{g_{\mu\nu} - q_\mu q_\nu / M^2}{q^2 - M^2 + i\varepsilon}$

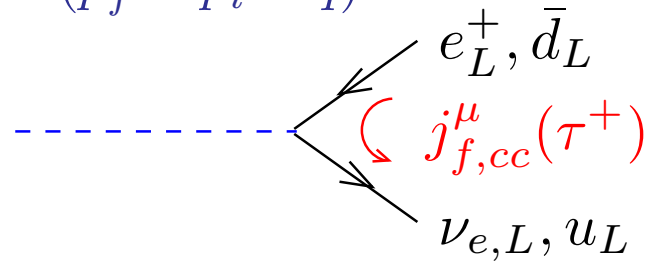
Virtuelles Higgs-Boson: $\langle \begin{array}{c} \hline H \end{array} \rangle \quad \frac{i}{q^2 - M_H^2 + i\varepsilon}$

Fermion-Higgs-Boson-Vertex:



Fermion- W^\pm -Vertex:

$$-i \frac{g}{2\sqrt{2}} \gamma^\mu (1 - \gamma_5) (2\pi)^4 \delta^{(4)}(p_f - p_i - q)$$



Fermion- Z^0 -Vertex:

$$-i \frac{g}{2 \cos \theta_W} \gamma^\mu [c_L^f (1 - \gamma_5) + c_R^f (1 + \gamma_5)] (2\pi)^4 \delta^{(4)}(p_f - p_i - q)$$

$g / \cos \theta_w$

Schwache NC-Kopplungskonstanten: ν, f^- ν, f^-

Links : $c_L^f = I_f^3 - Q_f \sin^2 \theta_W$; **rechts :** $c_R^f = -Q_f \sin^2 \theta_W$;

Vektor : $v_f = c_L^f + c_R^f = I_f^3 - 2Q_f \sin^2 \theta_W$;

Axialvektor : $a_f = c_L^f - c_R^f = I_f^3$.

$$\bar{u} \gamma^\mu c_L^f (1 - \gamma_5) + c_R^f (1 + \gamma_5) u = \bar{u} \gamma^\mu (v_f - a_f \gamma_5) u.$$

1.5.1.6 Fermion-Fermion-Streuung:

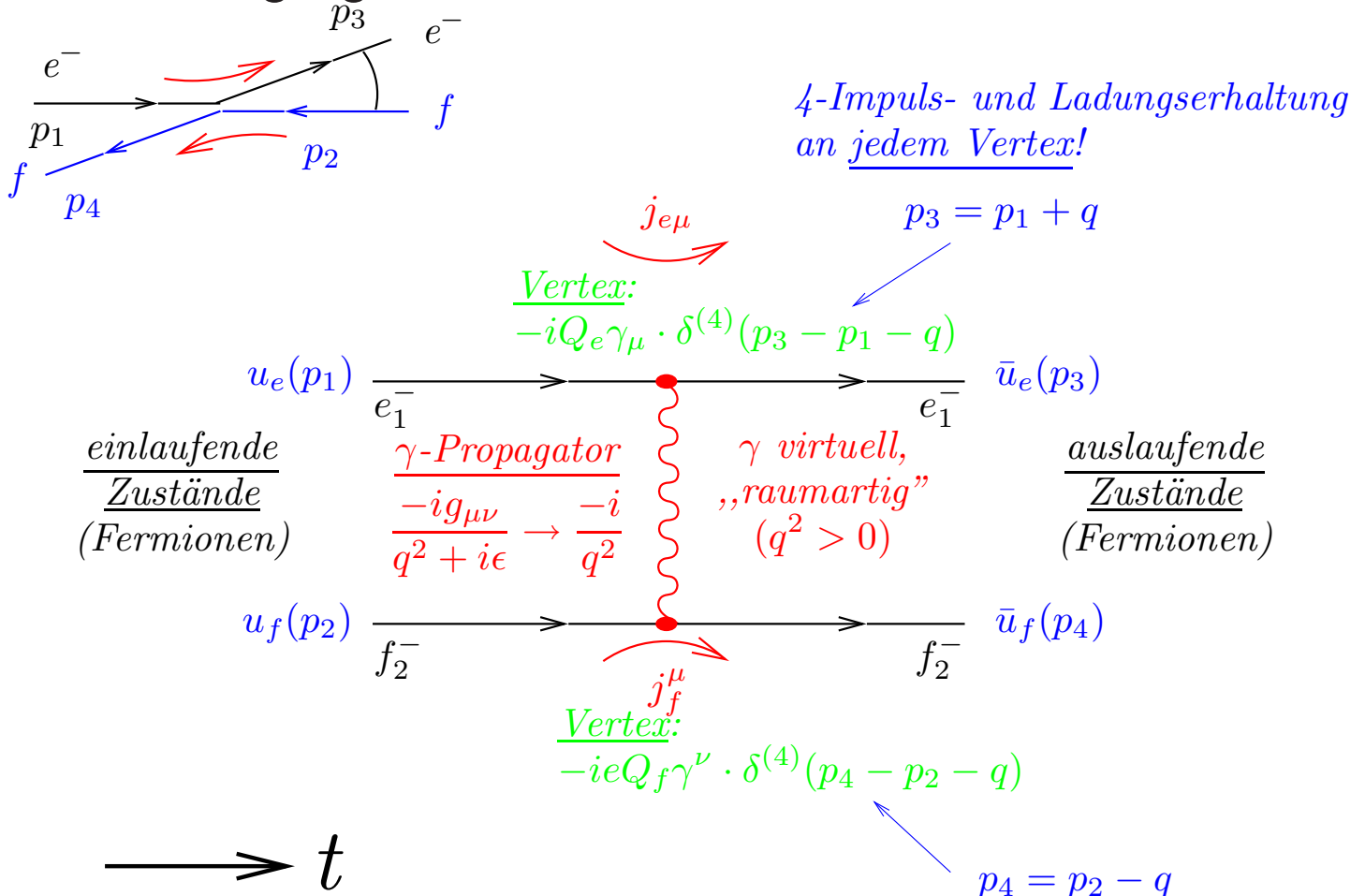
Das Übergangsmatrixelement \mathcal{M}_{fi} für elektromagnetische Fermion (Elektron e)-Fermion (f)-Streuung unter Austausch eines ("virtuellen") Photons ist demnach:

$$\mathcal{M}_{fi} = -ie^2 Q_e Q_f \bar{u}_e(p_3) \gamma_\mu u_e(p_1) \frac{1}{q^2} \bar{u}_f(p_4) \gamma^\mu u_f(p_2)$$

in 1. Ordnung der Störungsrechnung, 2. Ordnung in eQ bzw. 1. Ordnung in der Feinstrukturkonstanten $\alpha \equiv e^2/4\pi \approx 1/137$

$$(\sigma(e^- f \rightarrow e^- f) \sim |\mathcal{M}_{fi}|^2 \sim e^4 Q_e^2 Q_f^2 \sim \alpha^2)$$

und mit $q^2 = (p_3 - p_1)^2 \approx -2p_1 p_3 = -4E_1 E_3 \sin^2(\theta/2)$ bei Vernachlässigung der Fermion-Massen; $\theta =$ Streuwinkel.



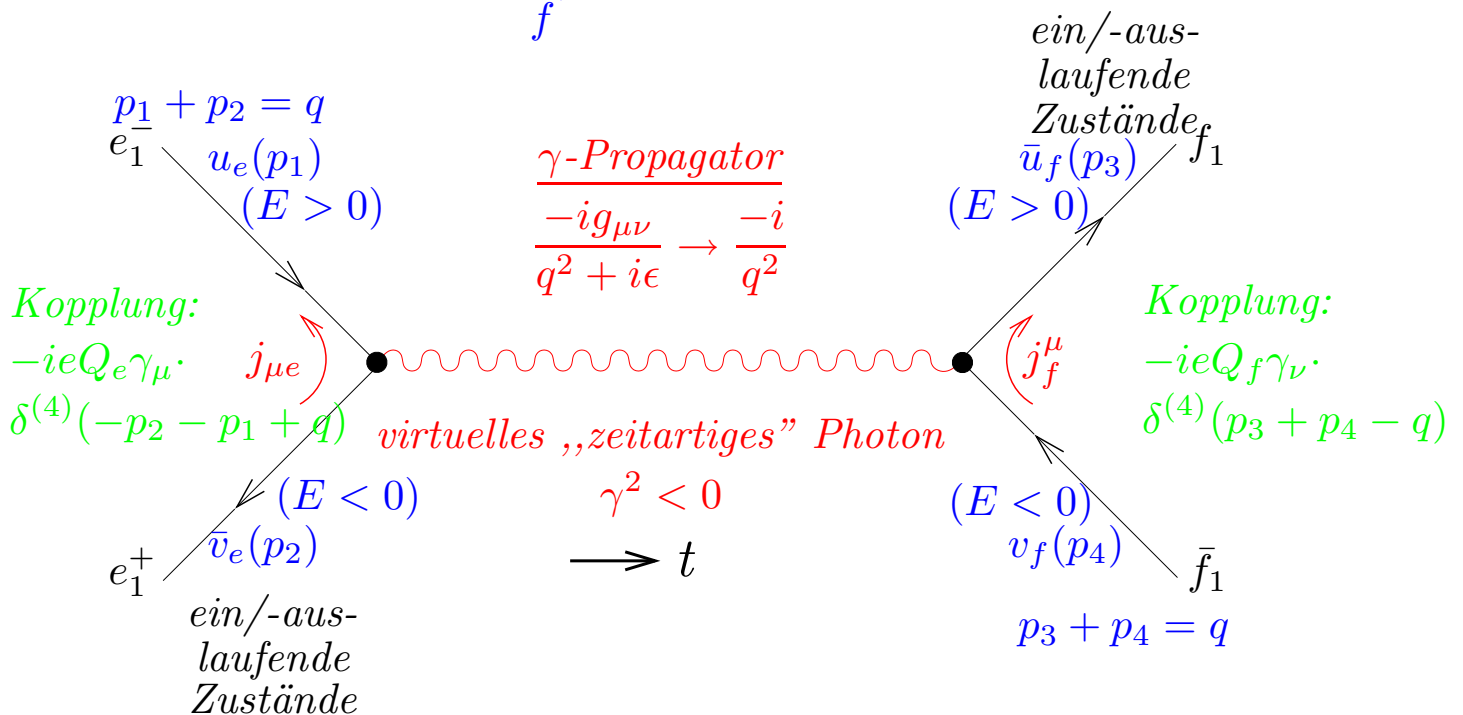
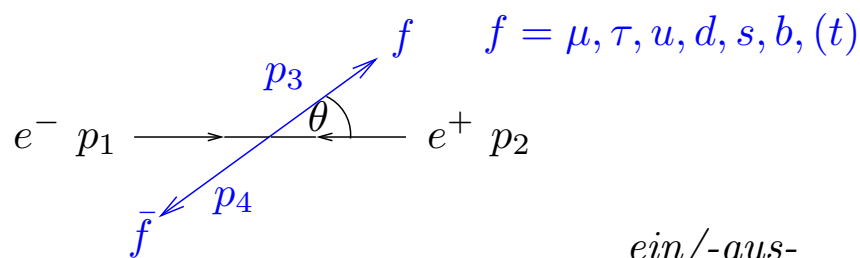
1.5.1.7 Elektron-Positron-Vernichtung

Nach den Feynman-Regeln ist das QED-Übergangsmatrixelement für die Elektron-Positron-Vernichtung unter Erzeugung eines Fermion-Antifermion-Paars (Erzeugung neuer Materie an e^+e^- -Speicherringen):

$$\mathcal{M} = -ie^2 Q_e Q_f \bar{v}_e(p_2) \gamma_\mu u_e(p_1) \frac{1}{q^2} \bar{u}_f(p_3) \gamma^\mu v_f(p_4)$$

mit $q^2 = (p_1 + p_2)^2 =: s = E_{CMS}^2$ (Schwerpunktsenergie).

Im Schwerpunktsystem gilt: $\sqrt{s} = 2E_e$.



1.5.2 Wechselwirkungsprozesse im Standardmodell

1.5.2.1 Selbstwechselwirkung der Eichbosonen

Freie nicht-Abelsche $SU(2) \times U(1)$ -Eichfelder:

$$\vec{W}_\mu, B_\mu \longrightarrow W_\mu^\pm, Z_\mu^0, A_\mu$$

mit der Lagrangedichte ($i = 1, \dots, 3$)

$$\mathcal{L}_{SU(2)}^{\text{frei}} = -\frac{1}{4} F_{\mu\nu}^i F^{i\mu\nu}$$

mit

$$F_{\mu\nu}^i = \partial_\nu W_\mu^i - \partial_\mu W_\nu^i + g \varepsilon^{ijk} W_\mu^j W_\nu^k$$

oder kurz:

$$\vec{F}_{\mu\nu} = \partial_\nu \vec{W}_\mu - \partial_\mu \vec{W}_\nu + g \vec{W}_\mu \times \vec{W}_\nu.$$

Die zugehörige Bewegungsgleichung nach dem Lagrange-Formalismus ist:

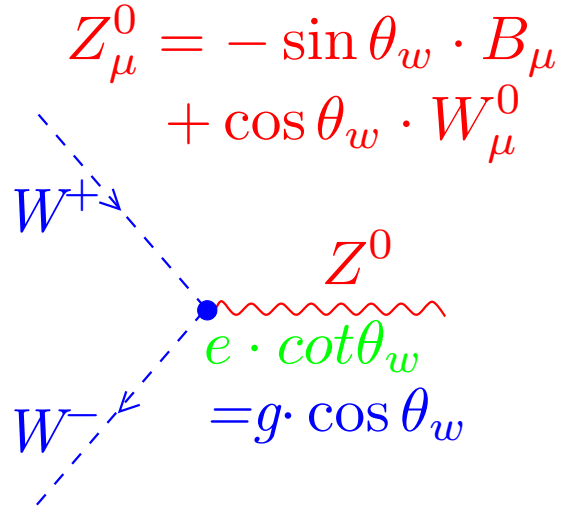
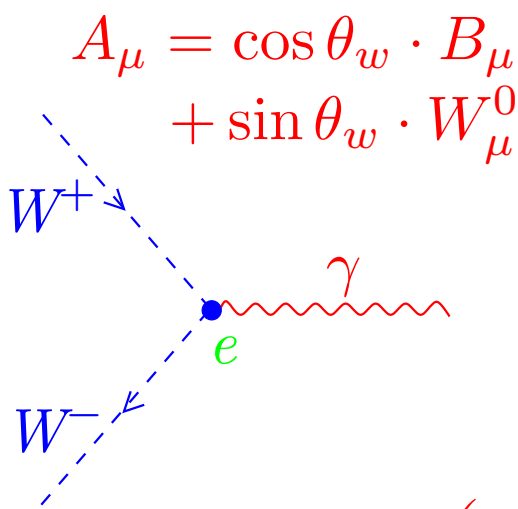
$$\partial_\mu \partial^\mu \vec{W}_\nu - \partial_\nu (\partial^\mu \vec{W}_\mu) = \vec{J}_\nu,$$

eine Wellengleichung für jede Komponente (ohne Lorentz-Eichung) mit neuem **Selbstwechselwirkungsterm** (Quellterm)

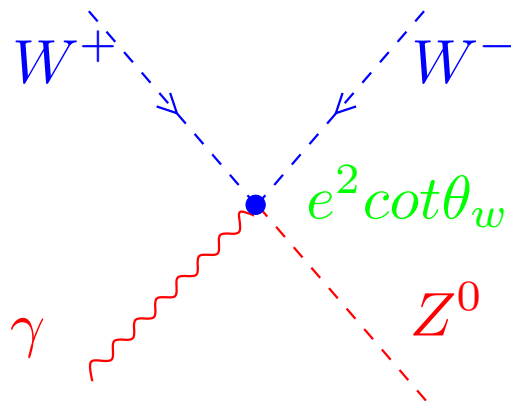
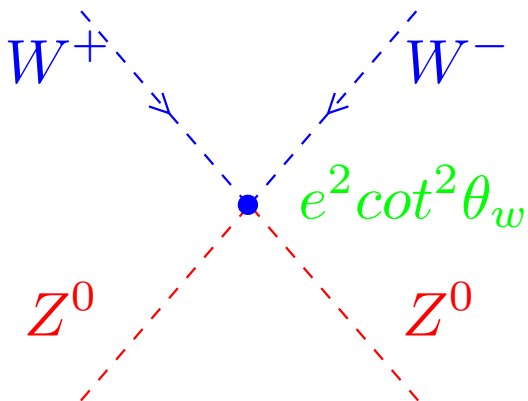
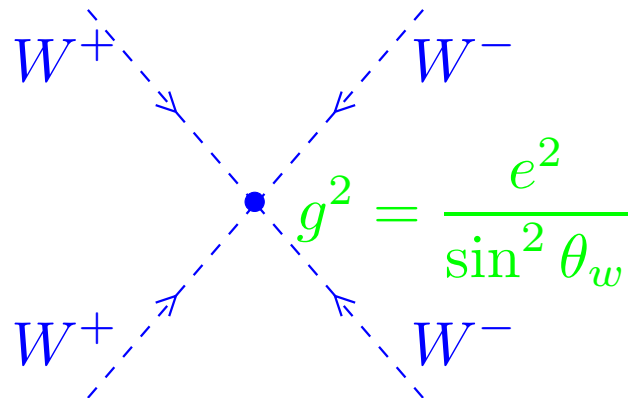
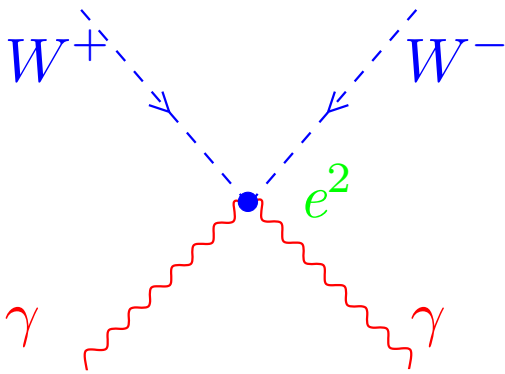
$$\begin{aligned} \vec{J}_\nu &= -g \vec{W}^\mu \times \vec{F}_{\mu\nu} \\ &= -g [\vec{W}^\mu \times \partial_\mu \vec{W}_\nu - \vec{W}^\mu \times \partial_\nu \vec{W}_\mu] + g^2 \vec{W}^\mu \times (\vec{W}_\mu \times \vec{W}_\nu), \end{aligned}$$

d.h. $\mathcal{L}_{\text{Selbst-WW}} = \vec{J}_\mu \vec{W}^\mu.$

\implies 3- und 4-Eichbosonkopplung ($\sim g$ bzw. $\sim g^2$).
 $\longrightarrow t$

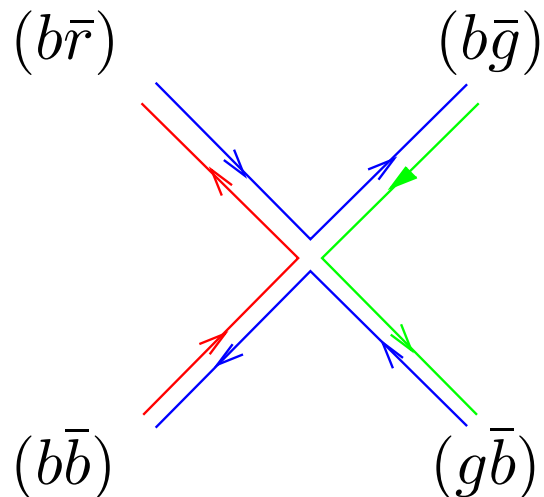
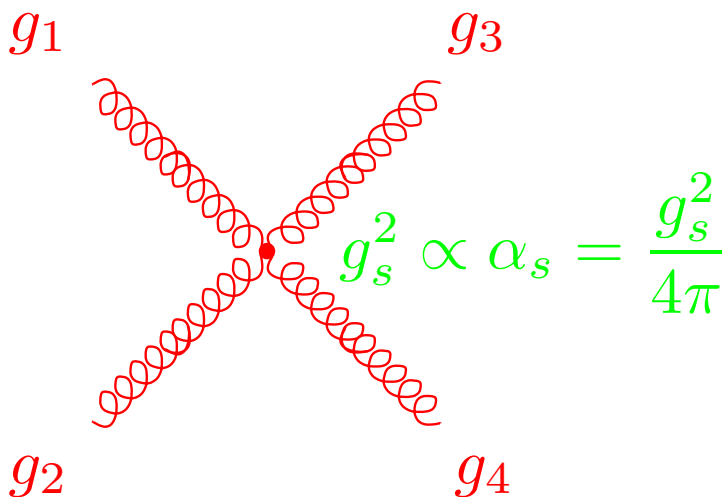
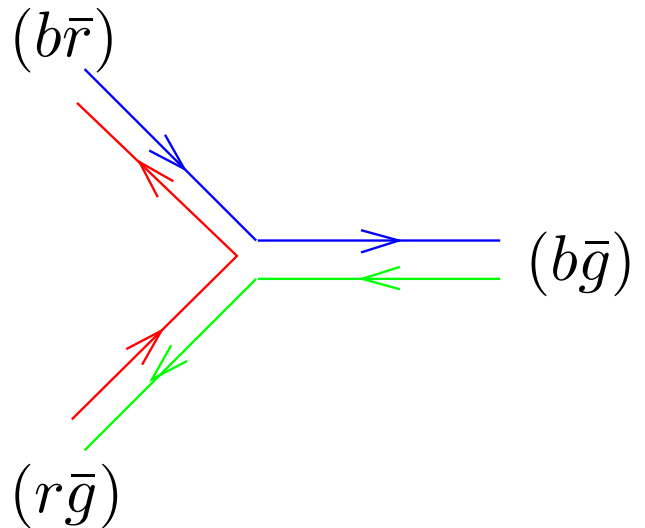
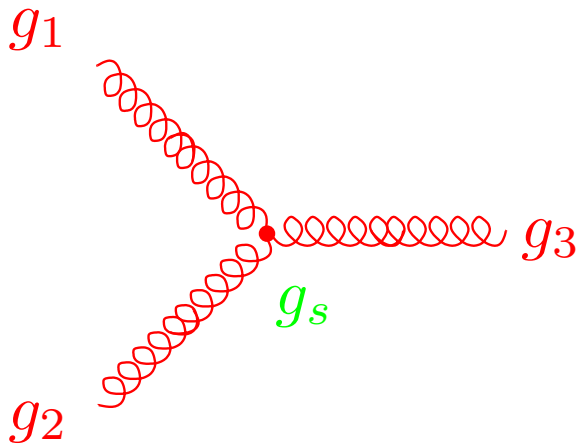


$\gamma : \propto e$ (e.m.)
 $Z^0 : \propto e \cot \theta_w$ (schwach)
 $W^\pm : \propto g^2$ (schwach)



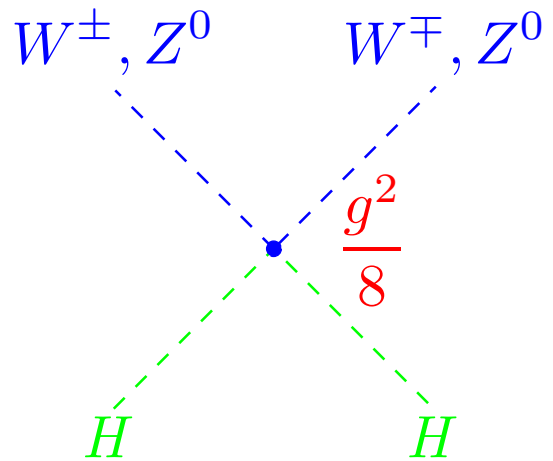
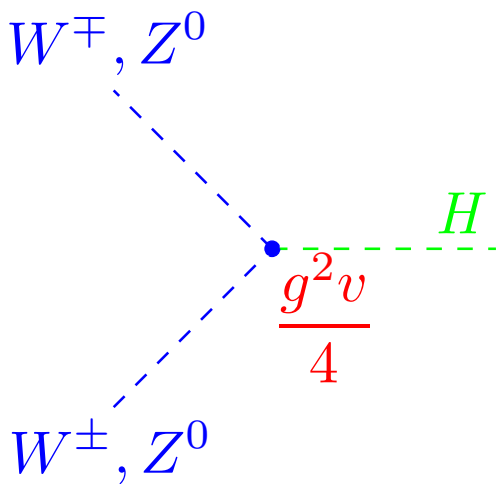
Ebenso die Selbstwechselwirkung der Gluonen (QCD), die für das Confinement der Quarks in den Hadronen verantwortlich ist:

—————> t



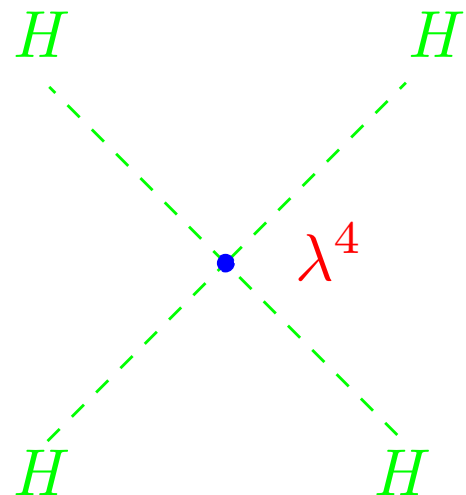
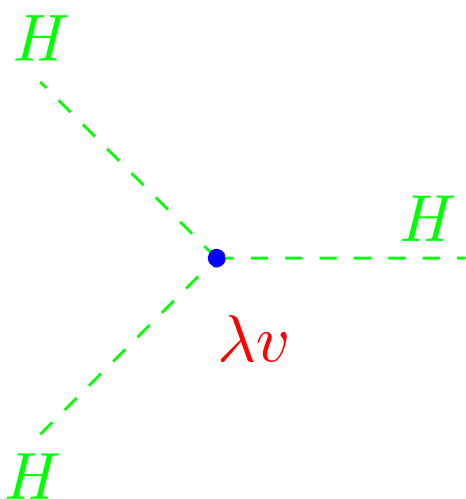
1.5.2.2 Higgs-Eichboson-Wechselwirkung

$$\mathcal{L}_{WW} = \frac{g^2}{8} \cdot (H^2 + 2vH) \left[2W_\mu^+ W^{\mu-} + \frac{1}{\cos^2 \theta_W} Z_\mu^0 Z^{\mu 0} \right]$$



1.5.2.3 Selbstwechselwirkung des Higgs-Bosons

$$\mathcal{L}_{HHH} = -\lambda v H^3 - \frac{\lambda}{4} H^4$$

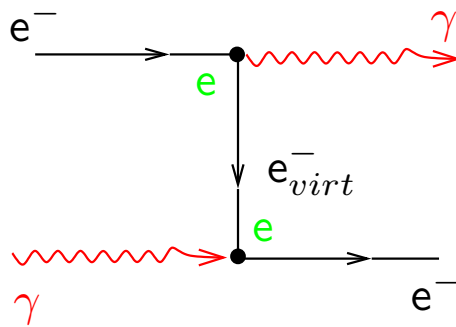
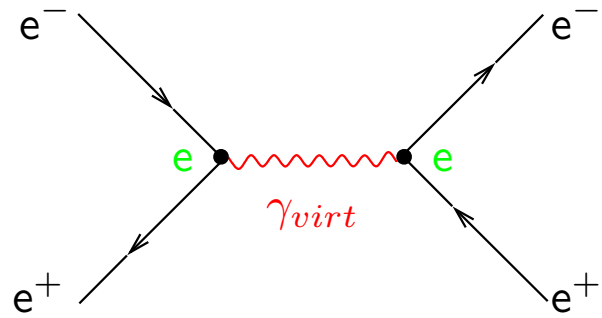
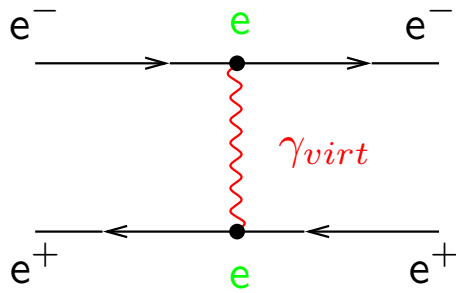


1.5.2.4 QED-Prozesse

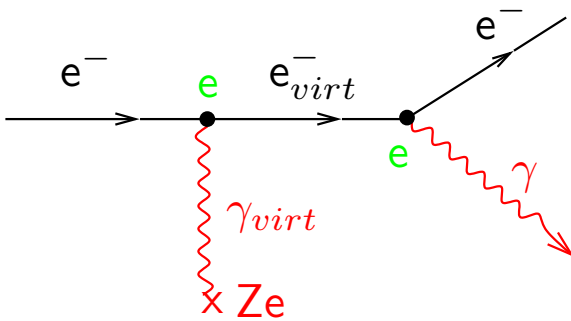
→ t

Elektron-Positron-Streuung $\sigma \propto \alpha^2 \propto e^4$

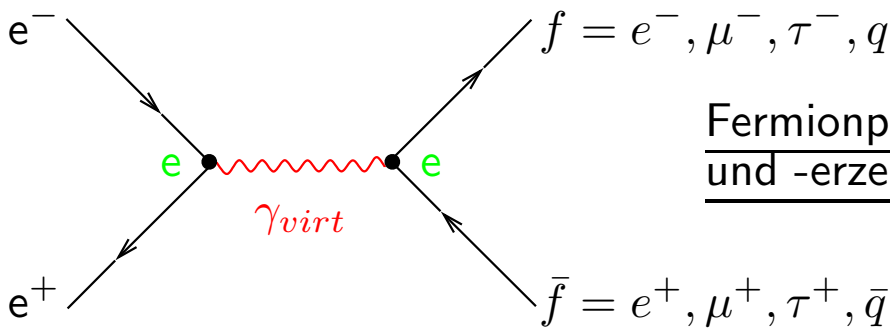
(Bhabha-Streuung)



Elektron-Photon-Compton-Streuung: $\sigma \propto \alpha^2$



Bremsstrahlung:
 $\sigma \propto \alpha^2$

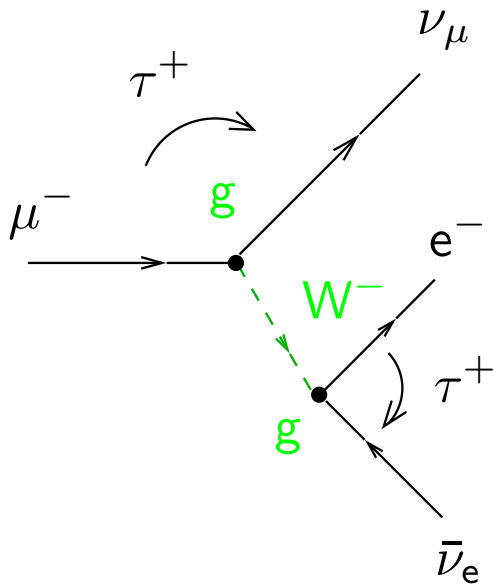


Fermionpaarvernichtung und -erzeugung:
 $\sigma \propto \alpha^2$

1.5.2.5 QCD-Prozesse

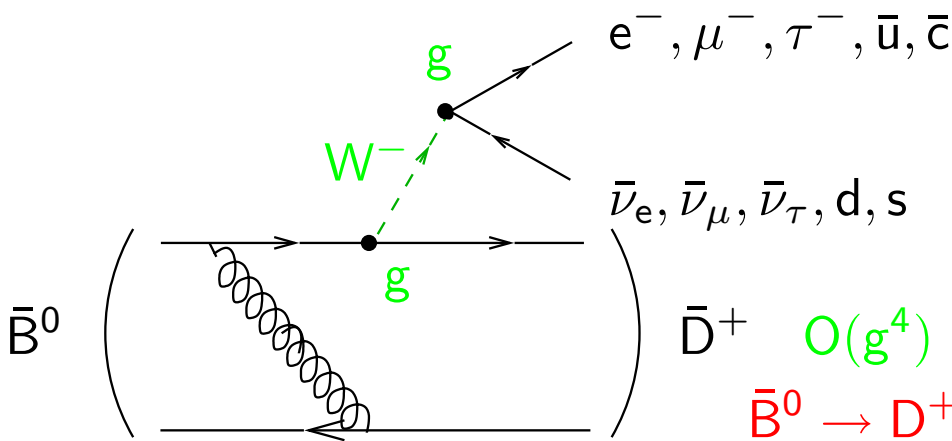
1.5.2.6 Schwache Prozesse

Schwache Zerfälle (CC)



$$\mu^- \rightarrow e^- \bar{\nu}_e \nu_\mu$$

$$O(g^4) = O(G_F^2)$$

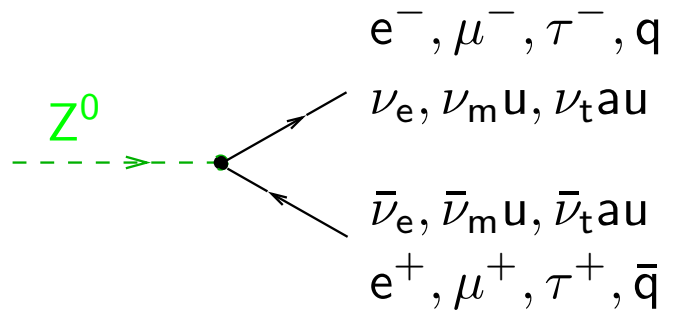
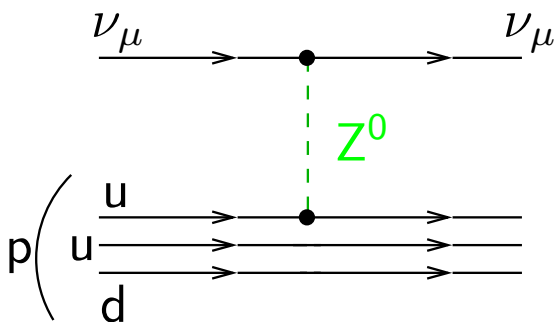


$$O(g^4) = O(G_F^2)$$

$$\bar{B}^0 \rightarrow D^+ e^- \bar{\nu}_e$$

Zuschauerprozess

Neutrale Stromwechselwirkung



$$\Rightarrow N_\nu = 3 \quad (2m_\nu Z)$$

1.5.2.7 Prozesse höherer Ordnung in der Störungstheorie: Strahlungskorrekturen

1.5.2.7.1 Elektroschwache Korrekturen

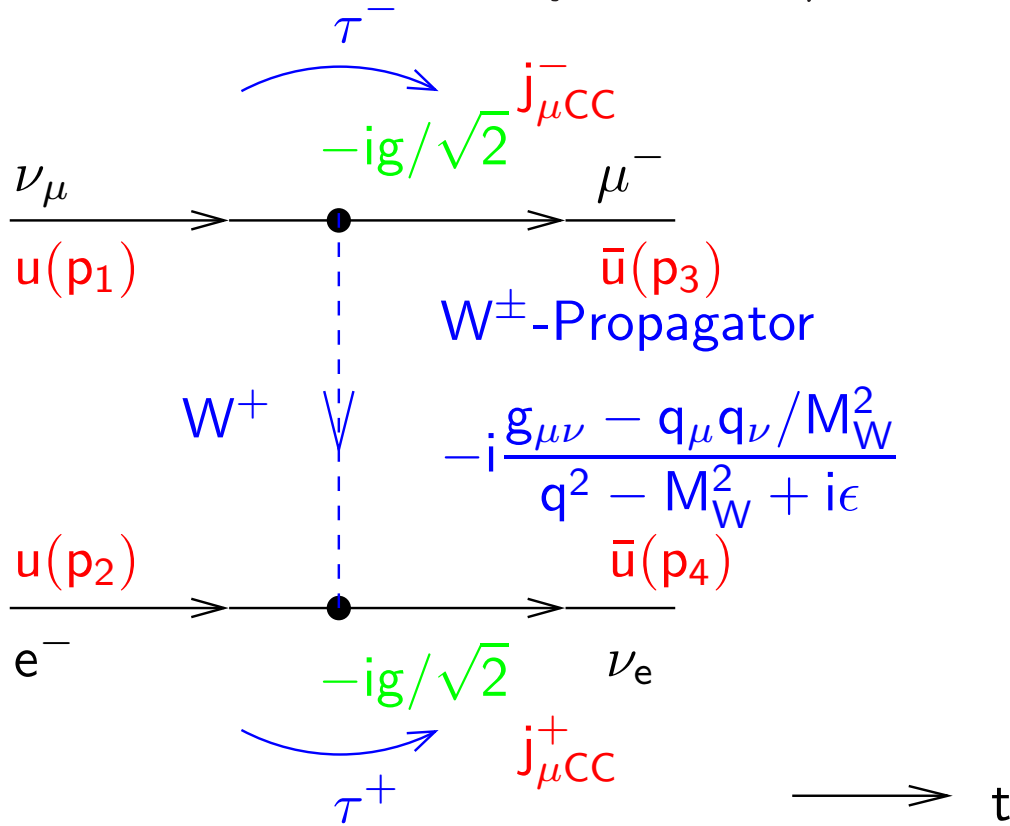
1.5.7.2 QCD-Korrekturen

1.5.3 Prozesse der schwachen Wechselwirkung

Beispiel: Neutrino-Elektron-Streuung:

CC-Prozeß: $\nu_\mu e^- \longrightarrow \mu^- \nu_e$

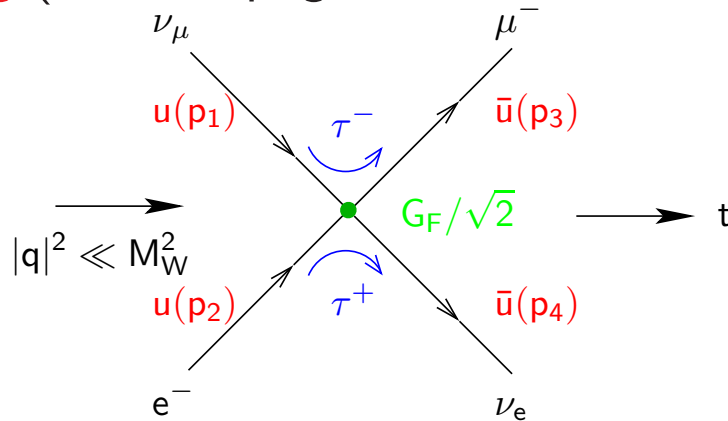
(verwandt mit dem schwachen Myonzerfall: $\mu^- \rightarrow e^- \nu_\mu \bar{\nu}_e$):



Das Übergangsmatrixelement ist:

$$\mathcal{M} = i \frac{g^2}{2} \cdot [\bar{u}_\mu(p_3) \gamma^\mu \frac{1 - \gamma_5}{2} u_{\nu_\mu}(p_1)] \underbrace{\frac{-g_{\mu\nu} + q_\mu q_\nu / M_w^2}{q^2 - M_W^2}}_{\rightarrow \frac{1}{M_W^2} \text{ f. } |q|^2 \ll M_W^2} \cdot [\bar{u}_{\nu_e}(p_4) \gamma^\nu \frac{1 - \gamma_5}{2} u_e(p_2)]$$

geht in der Näherung kleiner Impulsüberträge $|q|^2 \ll M_W^2$ (wie beim Myonzerfall), d.h. sehr kurze Reichweite der Feldquanten, über in das Matrixelement für die **Fermi'sche 4-Fermion-Punktwechselwirkung** oder **schwache Strom-Strom-Wechselwirkung** (kein Propagator für Austauscheteilchen):



$$\mathcal{M} = i \frac{G_F}{\sqrt{2}} [\bar{u}_\mu(p_3) \gamma^\mu (1 - \gamma_5) u_{\nu_\mu}(p_1)] [\bar{u}_{\nu_e}(p_4) \gamma_\mu (1 - \gamma_5) u_e(p_2)]$$

mit der schwachen **Fermi-Kopplungskonstanten** G_F .

Präzisionmessung der Fermi-Konstanten aus der Myon-Lebensdauer

$$\tau_\mu = \frac{1}{\Gamma_\mu} = \frac{192\pi^3}{G_F^2 m_\mu^5} :$$

$$\implies G_F = (1.16639 \pm 0.00002) \cdot 10^{-5} \text{ GeV}^{-2}$$

$$\implies \boxed{\frac{g^2}{8M_W^2} = \frac{G_F}{\sqrt{2}}}$$

Erklärt die Schwachheit der schwachen Wechselwirkung bei niedrigen Energien trotz

$$g = \frac{e}{\sin \theta_W} \geq e :$$

Wenn M_W groß ist, ist G_F klein.

Nach der SSB gelten die Beziehungen

$$M_W \equiv \frac{gv}{2} = \left(\frac{g^2 \sqrt{2}}{8G_F} \right)^{1/2} = \frac{g}{2} (\sqrt{2} G_F)^{-1/2}$$

$$\implies v = (\sqrt{2} G_F)^{-1/2} = 246 \text{ GeV} = \sqrt{-\frac{\mu^2}{\lambda}},$$

$$\implies \Phi_0 = \frac{v}{\sqrt{2}} = 174 \text{ GeV},$$

der Energieskala (d.h. Temperaturskala, $E = kT$) der elektroschwachen Symmetriebrechung (Phasenübergang).

$$\begin{aligned} \implies M_W &= \frac{ev}{2 \sin \theta_W} \\ M_W^2 &= \frac{e^2}{4\sqrt{2} G_F \sin^2 \theta_W} \equiv \frac{\pi \alpha}{\sqrt{2} G_F \sin^2 \theta_W} \\ &= \frac{(37.3 \text{ GeV})^2}{\sin^2 \theta_W}. \end{aligned}$$

Experimentell (Fermion-Paarproduktion in e^+e^- -Vernichtung bei LEP/CERN, νN -Streuung):

$$\begin{aligned} \sin^2 \theta_W(E = M_Z) &= 0.23136 \pm 0.00015 \\ \implies M_W &\approx 78 \text{ GeV} \\ \implies M_Z &= \frac{M_W}{\cos \theta_W} \approx 89 \text{ GeV} \end{aligned}$$

(Vorhersagen der GSW-Theorie in niedrigster Ordnung der Störungstheorie).

Experimentell (Z - und W -Bosonerzeugung in der e^+e^- -Vernichtung bei LEP und SLD und in der $p\bar{p}$ -Vernichtung am Tevatron/FNAL):

$$\begin{aligned}M_Z &= 91.1875 \pm 0.0021 \text{ GeV}, \\M_W &= 80.451 \pm 0.033 \text{ GeV}.\end{aligned}$$

Übereinstimmung mit den theoretischen Vorhersagen mit hoher Präzision, wenn **elektroschwache Strahlungskorrekturen** (Prozesse höherer Ordnung der Störungstheorie der elektroschwachen WW).

⇒ Die am besten geprüfte physikalische Theorie.

Inputparameter der Theorie:

$$g, g', v, g_f.$$

Alternativ (experimentell am besten bestimmt):

$$\alpha(E = M_Z), G_F, \sin^2 \theta_W \text{ oder } M_Z, m_f.$$

Die **Masse des Higgs-Bosons**

$$M_H = \sqrt{-2\mu^2} = \sqrt{\frac{2}{\lambda}} \cdot v$$

und die **Massen der Fermionen**

$$m_f = \frac{g_f v}{\sqrt{2}}$$

lassen sich im Standardmodell nicht vorhersagen.

1.5.4 Renormierung der Kopplungskonstanten

Fundamentales Problem bei der störungstheoretischen Berechnung von Observablen in der relativistischen Feldtheorie mit elementaren Punktteilchen als Trägern der Ladungen:

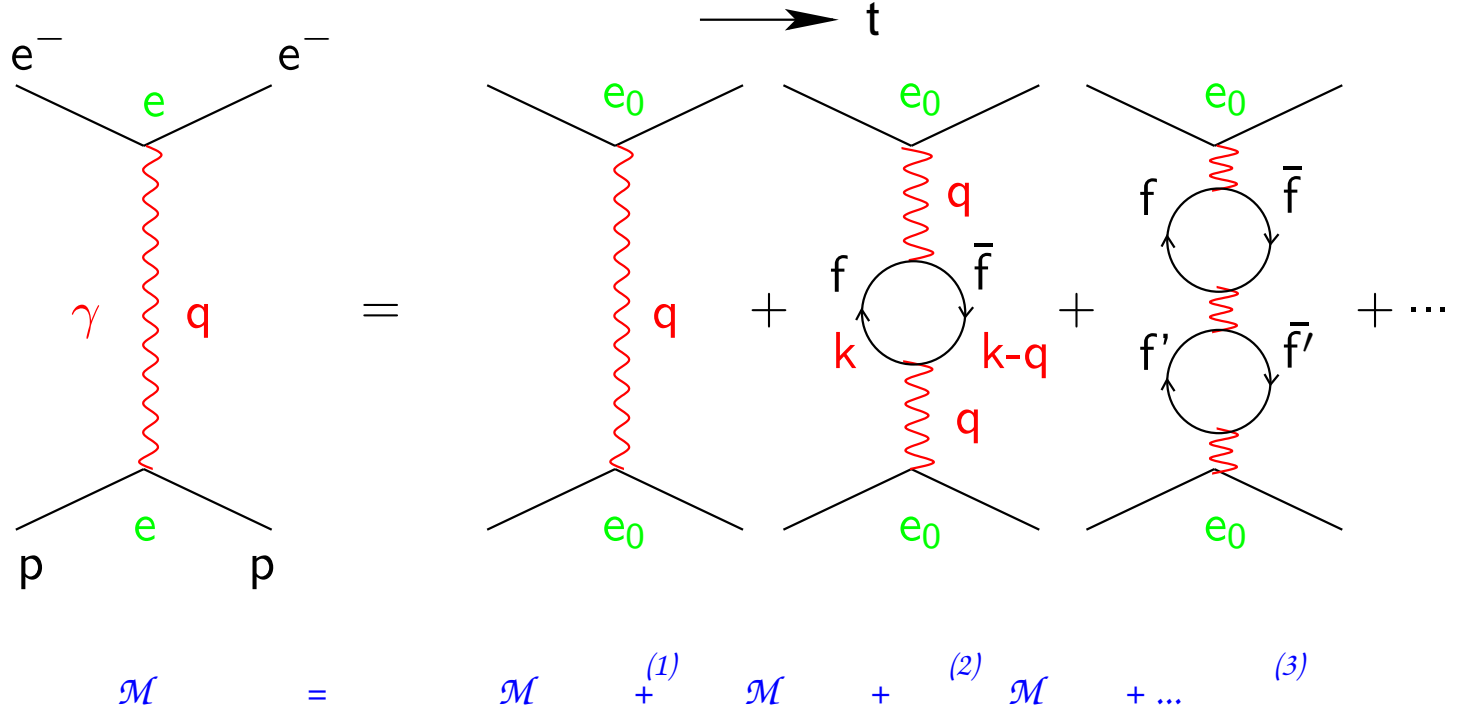
Divergenzen bei hohen Impulsüberträgen $\rightarrow \infty$, d.h. kleinen Abständen $\rightarrow 0$ in Diagrammen höherer Ordnung (Schleifendiagramme), die über die Prozesse niedrigster Ordnung (Baum-Graphen) hinausgehen (sog. UV-Divergenzen).

Problem behebbar durch das **Renormierungsprogramm** (effektive Ladungen und Massen in Anwesenheit von quantenmechanischen Vakuumfluktuationen) für renormierbare Feldtheorien.

Erfolg der QED aufgrund ihrer Eigenschaft der Renormierbarkeit.

Auch Nicht-Abelsche Eichtheorien (auch mit SSB) sind renormierbar (t'Hooft, Veltman 1971).

1.5.4.1 Beispiel aus der QED: Vakuumpolarisation bei der e^-p -Coulomb-Streuung



Die QED-Beiträge höherer Ordnung führen zu einer effektiven Modifikation des Photon-Propagators, die die **Form** des Resultats niedrigster Ordnung unverändert läßt:

$$\mathcal{M}^{(1)} = e_0^2 \bar{u}_e(p_3) \gamma^\mu u_e(p_1) \frac{-ig_{\mu\nu}}{q^2} \bar{u}_p(p_4) \gamma^\nu u_p(p_2);$$

$$\mathcal{M}^{(2)} = e_0^2 \bar{u}_e(p_3) \gamma^\mu u_e(p_1) \left[\frac{-ig_{\mu\nu}}{q^2} \cdot Q_f^2 \int \frac{d^4k}{(2\pi)^4} \left(ie_0 \gamma^\nu \frac{i(k+m)}{k^2 - m^2} ie_0 \gamma^\rho \frac{i(q-k+m)}{(q-k)^2 - m^2} \right) \cdot \frac{-ig_{\rho\sigma}}{q^2} \right] \bar{u}_p(p_4) \gamma^\sigma u_p(p_2).$$

(Summe über alle Fermionen und W^\pm in der Schleife, gewichtet mit Ladung und Masse/einfliegende Energie).

Das Integral über $d^4k = k^2 dk d\Omega_k dk_0$, $k = |\vec{k}|$, divergiert für $k \rightarrow \infty$.

Deshalb willkürliche Integrationsgrenze beim sog. Abschneideparameter $k = \Lambda$.

Dann ist für $q^2 \rightarrow 0$ ($|Q_f| = 1$):

$$\mathcal{M}^{(1)} + \mathcal{M}^{(2)} = e_0^2 \left[1 - \frac{\alpha_0}{3\pi} \ln \left(\frac{\Lambda^2}{m^2} \right) \right] \frac{\mathcal{M}^{(1)}}{e_0^2}.$$

Höhere Schleifenordnungen $n = 2, \dots, \infty$ ("leading log"-Strahlungskorrekturen) wiederholen sich in der Korrektur zum Photon-Propagator in einer geometrischen Reihe, die exakt aufsummiert werden kann, d.h.

$$\begin{aligned} \sum_{n=1}^{\infty} \mathcal{M}^{(n)} &= e_0^2 \left[1 - \frac{\alpha_0}{3\pi} \ln \left(\frac{\Lambda^2}{m^2} \right) - \left(\frac{\alpha_0}{3\pi} \ln \left(\frac{\Lambda^2}{m^2} \right) \right)^2 + \dots \right] \frac{\mathcal{M}^{(1)}}{e_0^2} \\ &= \frac{e_0^2}{1 + \frac{\alpha_0}{3\pi} \ln \left(\frac{\Lambda^2}{m^2} \right)} \cdot \frac{\mathcal{M}^{(1)}}{e_0^2} \end{aligned}$$

In einer fundamentalen Theorie (gültig für alle $k \rightarrow \infty$) soll das Endresultat unabhängig vom Abschneideparameter Λ sein.

Interpretation des Resultats:

Im Streuprozess wird die effektive (renormierte) elektr. Ladung ($\alpha = e^2/4\pi$)

$$\alpha_R(m_e^2) = \alpha = \frac{\alpha_0}{1 + \frac{\alpha_0}{3\pi} \ln\left(\frac{\Lambda^2}{m_e^2}\right)} =: Z_3 \cdot \alpha_0$$

gemessen.

Für $q^2 \rightarrow 0$ ist dies die Elementarladung $e = e_R(m_e^2)$ bzw. die Feinstrukturkonstante $\alpha_R(q^2 = m_e^2) = \alpha \approx \frac{1}{137}$, gemessen in der Coulomb-Streuung bei sehr niedrigen Energien (Atomphysik).

Die (sehr langsame, log) Divergenz in der Renormierungskonstanten Z_3 für $\Lambda \rightarrow \infty$ wird durch die "nackte" Ladung e_0 kompensiert.

Für $|q^2| \gg m_e^2$ gilt:

$$\begin{aligned} \alpha_R(q^2) &= \frac{\alpha_0(\Lambda^2)}{1 + \frac{\alpha_0}{3\pi} \ln\left(\frac{\Lambda^2}{m_e^2}\right) - \frac{\alpha_0}{3\pi} \ln\left(\frac{-q^2}{m_e^2}\right)} \\ &= \frac{\alpha_0(\Lambda^2)}{\left[1 + \frac{\alpha_0}{3\pi} \ln\left(\frac{\Lambda^2}{m_e^2}\right)\right] \left[1 - \frac{\alpha_R(m_e^2)}{3\pi} \ln\left(\frac{-q^2}{m_e^2}\right)\right]} \\ &= \frac{\alpha_R(m_e^2)}{1 - \frac{\alpha_R(m_e^2)}{3\pi} \ln\left(\frac{-q^2}{m_e^2}\right)}. \end{aligned}$$

Allgemein ist die q^2 -Abhängigkeit der el.magn. Kopplung (“laufende” Kopplungskonstante):

$$\alpha_R(q^2) = \frac{\alpha_R(q_0^2)}{1 - \frac{\alpha_R(q_0^2)}{3\pi} \ln\left(\frac{q^2}{q_0^2}\right)}.$$

$$\xrightarrow{\text{alle } f} \frac{\alpha_R(q_0^2)}{1 - \sum_f N_C^f Q_f^2 \frac{\alpha_R(q_0^2)}{3\pi} \ln\left(\frac{q^2}{q_0^2}\right)}.$$

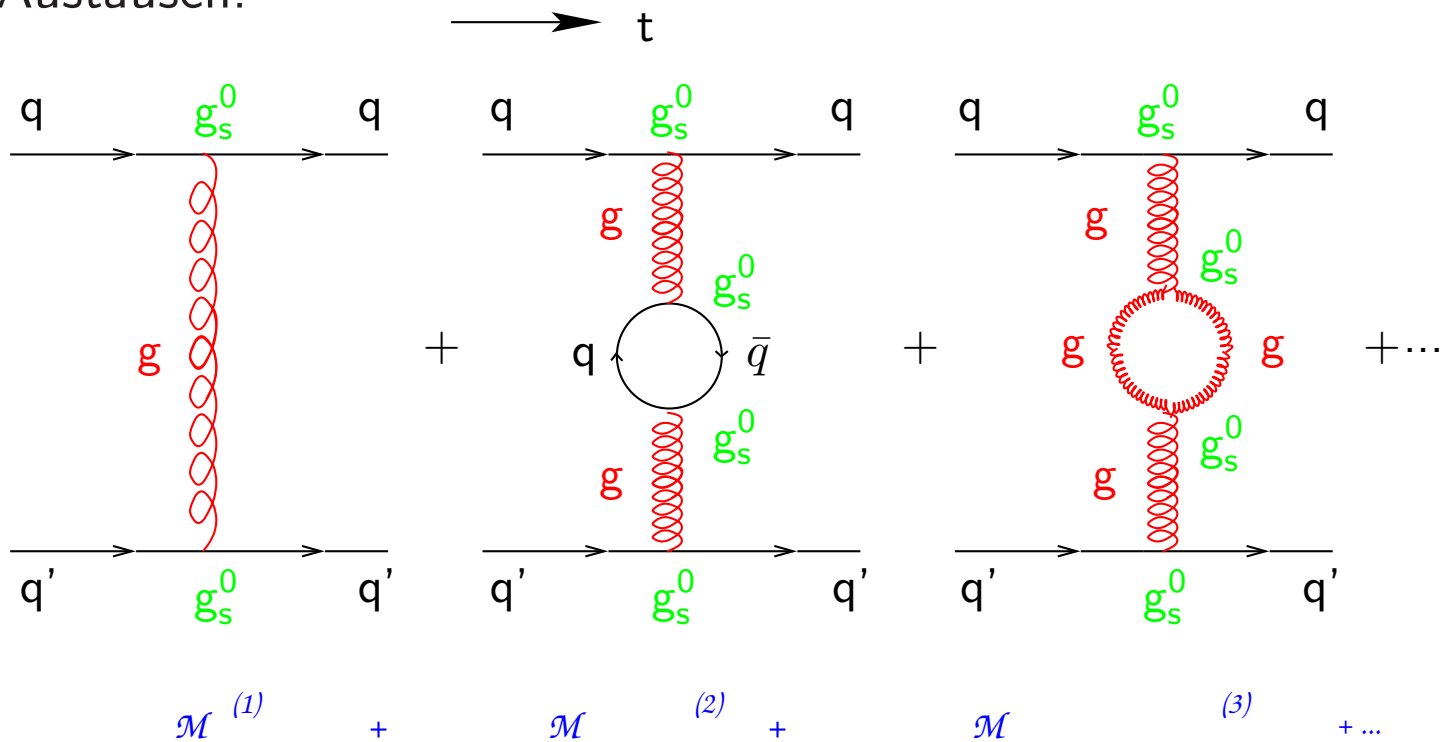
⇒ Sehr langsame Entwicklung (log): $\alpha(M_Z^2) = 1/128.9$.

Kleiner Beitrag zum Lamb-shift in der Atomphysik.

⇒ Abschirmung der “nackten” elektrischen Ladung bei großen Abständen (d.h. kleinen Impulsüberträgen) durch die polarisierten Vakuumfluktuationen (virtuelle $f\bar{f}$ -Paare mit Lebensdauer $\Delta t \approx \hbar/2m_f$) wie in einem polarisierbaren Medium mit Permeabilität $\varepsilon > 1$.

1.5.4.2 Die starke Kopplungskonstante der QCD

Vakuumpolarisation in der Quark-Quark-Streuung mit Gluon-Austausch:



$\implies q^2$ -Abhängigkeit der starken Kopplungskonstante $\alpha_s = \frac{g_s}{4\pi}$:

Beitrag der inneren Quark-Schleifen in Analogie zur QED mit $e^2 \rightarrow g_s^2 Sp\left(\frac{\lambda^a \lambda^b}{2}\right) = g_s^2 \frac{\delta^{ab}}{2}$:

$$[\alpha_s(q^2)]_{q\bar{q}} = \frac{\alpha_s(q_0^2)}{1 - N_q \frac{\alpha_s(q_0^2)}{6\pi} \ln\left(\frac{q^2}{q_0^2}\right)}.$$

Beitrag der Gluon-Schleifen:

$$[\alpha_s(q^2)]_{gg} = \frac{\alpha_s(q_0^2)}{1 + 11 \frac{\alpha_s(q_0^2)}{4\pi} \ln\left(\frac{q^2}{q_0^2}\right)}.$$

Zusammen (additive Beiträge):

$$\begin{aligned} \alpha_s(q^2) &= \frac{\alpha_s(q_0^2)}{1 + (33 - 2N_q) \frac{\alpha_s(q_0^2)}{12\pi} \ln\left(\frac{q^2}{q_0^2}\right)} \\ &= \frac{12\pi}{(33 - 2N_q) \ln\left(\frac{q^2}{\Lambda_{QCD}^2}\right)} \end{aligned}$$

mit der Definition des QCD-Skalenparameters (aus der Störungstheorie) $\Lambda_{QCD}^2 = q_0^2 e^{-(C\alpha_s(q_0^2))^{-1}}$ mit $C = (33 - 2N_q)/12\pi$, der experimentell bestimmt werden muß (äquivalent zur Messung von $\alpha_s(q_0^2)$).

(gültig nur für $q^2 \gg \Lambda_{QCD}$: Störungstheorie anwendbar).

\implies Für $N_q \leq 16$ nimmt die starke Kopplungskonstante mit wachsendem q^2 schnell ab:

$$\alpha_s(q^2) \mapsto 0 \text{ für } |q^2| \rightarrow \infty,$$

⇒ sog. **“asymptotische Freiheit”** der Quarks und Gluonen bei hohen Impulsüberträgen bzw. kurzen Abständen, in den farbneutralen Bindungszuständen der Hadronen ($d < 10^{-15} \text{ m} \approx \text{Größe des Protons}$).

Effekt der überwiegenden Gluon-Vakuumpolarisation (nicht-Abelsche farbgeladene Eichbosonen): Anti-Abschirmung der Farbladung.

Zahlreiche Messungen der starken Kopplungskonstanten (aus hadronischen Wirkungsquerschnitten) ergeben:

$$\alpha_s(M_Z^2) = 0.118 \pm 0.002.$$

⇒ Bei großen q^2 ist die Störungstheorie in der QCD anwendbar;

im Gegensatz zu kleinen $q^2 \leq \Lambda_{QCD}$ bzw. großen Abständen zwischen den Quarks, bei denen die starke Kopplungskonstante große Werte annimmt, d.h. keine Störungstheorie:

Confinement der Quarks und Gluonen in Hadronen;

Fragmentation von Quarks und Gluonen in farbneutrale Hadronen.